

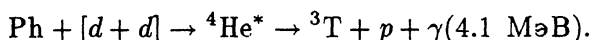
5.02;12

©1994

**ГЕНЕРАЦИЯ ЖЕСТКОГО  $\gamma$ -ИЗЛУЧЕНИЯ  
В МОНОКРИСТАЛАХ  $KD_2PO_4$   
В ПРОЦЕССЕ СЕГНЕТОЭЛЕКТРИЧЕСКОГО  
ФАЗОВОГО ПЕРЕХОДА**

*А.Г.Липсон, И.И.Бардышев, Д.М.Саков*

В последнее время в работах [1–3] развит подход, позволяющий трактовать наблюдаемые реакции ядерного синтеза в дейтерированных твердых телах с позиций передачи энергии оптических фононов кристаллической решетки (многофононных возбуждений) непосредственно ядрам дейтерия. В частности, Дж. Швингером и др. [1,4] рассмотрена гипотетическая возможность образования первого возбужденного состояния  $He^4$  в результате передачи многофононного возбуждения с суммарной энергией  $E \approx 4$  МэВ составному ядру  $He^4$ , образованному при столкновении ускоренных дейтеронов в неравновесной кристаллической решетке. Отмечалось также, что подобного типа реакции невозможны в столкновениях свободных дейтеронов, поскольку в таких процессах не существует механизма, способного обеспечить избыточную энергию  $\sim 4$  МэВ для перевода составного ядра  $He^4$  из основного в первое возбужденное состояние ( $j_p = 0^+$ ,  $T = 0$ ), локализованное на 20.1 МэВ выше основного состояния  $0^+$ . Так как первое возбужденное состояние  $He^4$  стабильно в отношении распада по каналу  $He^3 + n$  (находится ниже порога этого канала 20.578 МэВ) и не стабильно по отношению к распаду по каналу  $T^3 + p$  (19.815 МэВ), то это предположение могло бы объяснить асимметрию каналов твердотельного  $dd$ -синтеза, который носит по преимуществу безнейтронный характер, генерируя в то же время значительные количества  $T^3$ . Если данная гипотеза верна, то в неравновесных дейтерированных твердых телах, в частности, при контролируемых фазовых переходах должны наблюдаться жесткие  $\gamma$ -кванты с энергией  $E \approx 4$  МэВ, образующиеся при распаде первого возбужденного состояния  $He^4$  по каналу  $T^3 + p$ :



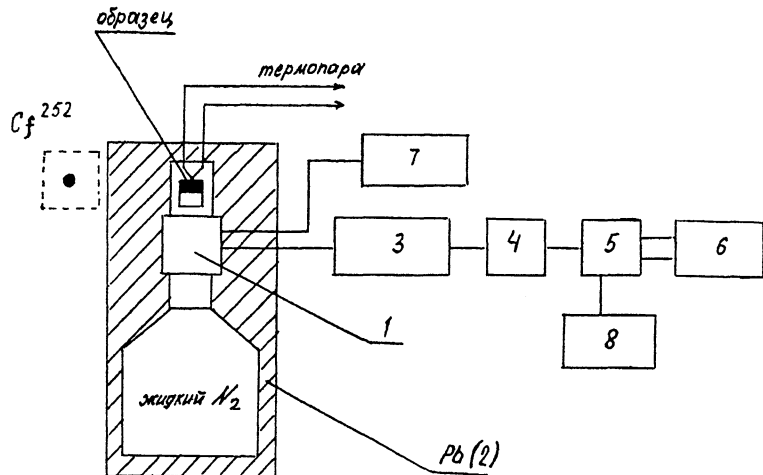


Рис. 1. Схема экспериментальной установки для регистрации  $\gamma$ -эмиссии  $\gamma$ -квантов.

1 — Ge детектор, 2 — свинцовая защита, 3 — предусилитель, 4 — усилитель с дискриминатором, 5 — многоканальный анализатор, 6 — стабилизатор, 7 — высоковольтное питание, 8 — IBM компьютер.

В настоящей работе были выполнены строгие спектральные измерения  $\gamma$ -эмиссии в монокристаллах DKDP, стимулированной сегнетоэлектрическим фазовым переходом в области энергии  $\gamma$ -квантов 3.0–8.5 МэВ. Использовали монокристаллы  $KD_2PO_4$ , выращенные из раствора (содержащие дейтерия  $97.0 \pm 1.0\%$ ), в которых ранее нами наблюдалась генерация нейтронов и трития при переходе через  $T_C \approx 221$  К [5,6]. Всего было использовано 7 кристаллических пластин, вырезанных из одного моноблока в направлении (001). Кристаллы помещались в латунный криостат, описанный в [6], с толщиной стенки  $h \approx 20$  мм, и подвергались охлаждению (нагреву) в линейном режиме со скоростью  $\sim 0.1$  К/с в температурном интервале 212–222 К, в котором локализованы максимумы теплоты сегнетоэлектрического перехода согласно данным дифференциално-сканирующей калориметрии. Для регистрации  $\gamma$ -квантов использовали полупроводниковый коаксиальный низкофотоновый HPGe детектор GEM-20180-P фирмы EG & GORTEC (на базе кристалла германия высокой чистоты диаметром 50.7 мм и высотой 64.4 мм) с энергетическим разрешением  $FWHM = 1.73$  КэВ и собственной эффективностью 25% при энергии  $\gamma$ -квантов 1.33 МэВ ( $Co^{60}$ ). Схема экспериментальной установки по регистрации  $\gamma$ -квантов приведена на рис. 1. Гамма-фон установки, измеряемый перед началом

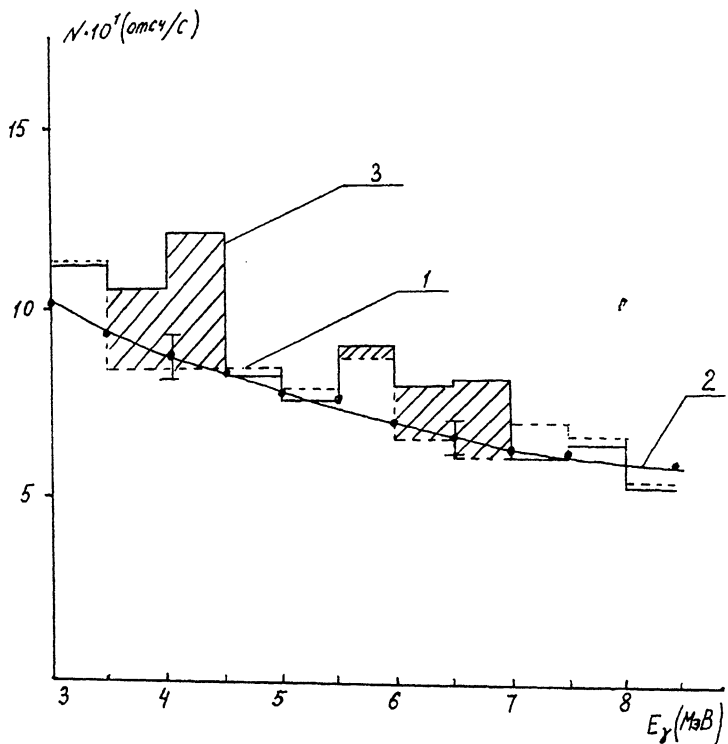


Рис. 2. Энергетическое распределение  $\gamma$ -квантов, зарегистрированных:

1 — в контрольных экспериментах при термоциклировании кристаллов DKDP в интервалах  $T \ll T_c$  и  $T \gg T_c$ . Время экспозиции  $\Sigma t = 9461$  с; 2 — при  $T = 300$  К (суммарное время экспозиции  $\tau = 10^5$  с); 3 — при термоциклировании DKDP в окрестности  $T_c$ , в интервале  $\Delta T = 212 - 222$  К,  $\Sigma t = 9461$  с (100 проходов через  $T_c$ ).

экспериментов, между ними и после их окончания, обнаруживает многочисленные  $\gamma$ -линии радионуклидов, содержащихся в окружающей среде, энергия которых лежит в интервале 0.1–2.6 МэВ. В рабочей области  $E \geq 3.0$  МэВ фон детектора равномерен по шкале энергий и не содержит  $\gamma$ -линий. Калибровку детектора осуществляли с помощью стандартного источника  $\text{Na}^{22}$  ( $\gamma$ -линии 0.511 и 1.27 МэВ). С учетом энергий, регистрируемых  $\gamma$ -квантов и используемой геометрии установки полная эффективность детектора в области 3.0–8.5 МэВ составила от  $3.1 \cdot 10^{-3}$  до  $1.9 \cdot 10^{-3}$ . В качестве контрольных экспериментов осуществляли регистрацию  $\gamma$ -квантов при термоциклировании кристаллов в интервалах температур, лежащих вне области  $\Delta T$ , соответствующей фазовому переходу ( $T \ll T_c$  и  $T \gg T_c$ ). Энергетическое распределение  $\gamma$ -квантов в контрольных экспериментах хорошо описывается (рис. 2, кривая 1) распределением

Параметры областей превышения над фоном (заштрихованных на рис. 2)

$\Delta E$ , МэВ	$N_\Phi \cdot 10^{-2}$ , отсч./с	$n_\gamma$ , $\gamma/\text{с}$
3.5 – 4.5	$1.51 \pm 0.12$	$2.43 \pm 0.40$
6.0 – 7.0	$1.20 \pm 0.09$	$1.25 \pm 0.32$

Примечание.  $N_\Phi$  — число фоновых отсчетов в контрольных экспериментах,  $n_\gamma$  — интенсивность  $\gamma$ -излучения за вычетом фона контрольных экспериментов с учетом эффективности детектора.

космического фона детектора, регистрируемого за большие промежутки времени (рис. 2, кривая 2). В то же время на образцах DKDP в интервале  $\Delta T = 212 - 222$  К получены превышения над фоном контрольных экспериментов, особенно ярко выраженные в области 3.5–4.5 МэВ и менее значительно в районе 6.0–7.0 МэВ (рис. 2, кривая 3). Параметры областей превышения над фоном ("пиков") представлены в таблице. Отметим, что превышение над уровнем фона контрольных измерений в области 3.5–4.5 МэВ наблюдалось для всех 7 использованных кристаллов DKDP, особенно хорошо заметное в первые десять циклов. После этого происходило иссякание эмиссии  $\gamma$ -квантов, связанное с деградацией кристаллов (растрескиванием). (Подобные эффекты деградации отмечались также в [6] при измерении эмиссии нейтронов). На основе полученной статистики положение пика I (3.5–4.5 МэВ) и его ширина определяются соответственно  $E_I = 4.2 \pm 0.3$  и  $\Gamma_I = 0.6 \pm 0.3$  МэВ. Для пика II (6.0–7.0 МэВ)  $E_{II} = 6.7 \pm 0.3$  и  $\Gamma_{II} = 0.5 \pm 0.4$  МэВ. Данные по положению пика  $E_I$  и ширине  $\Gamma_I$  в достаточной степени соответствуют возможному положению  $\gamma$ -пика, который должен был наблюдаться при распаде первого возбужденного состояния  $\text{He}^4$  ( $E = 4.1$ ,  $\Gamma \simeq 0.6$  МэВ).

Появление широких максимумов интенсивности в жесткой части  $\gamma$ -спектра ( $E > 3$  МэВ) невозможно объяснить наличием радионуклидов в среде в процессе измерений, поскольку, как указывалось выше, область  $\gamma$ -излучения данных радионуклидов соответствует энергии  $E < 2.6$  МэВ. Кроме того, наличие радионуклидов в среде никак не связано с сегнетоэлектрическим фазовым переходом в DKDP, и поэтому  $\gamma$ -излучение, вызываемое ими, должно было бы проявиться и в контрольных экспериментах.

Таким образом, максимуму в области 3.5–4.5 МэВ действительно соответствует распад первого возбужденного состояния ядра  $\text{He}^4$  ( $E_\gamma = 4.1 \text{ МэВ}$ ). При этом избыточная энергия  $\Delta E \approx 4 \text{ МэВ}$ , необходимая для возбуждения, может быть обеспечена за счет суммирования (концентрирования) энергии оптических фононов, генерируемых в процессе сегнетоэлектрического фазового перехода. Элементарные оценки показывают, что при среднем размере домена в DKDP  $\sim 2 \cdot 10^{-5} \text{ см}^3$  [7], значении дебаевской частоты  $\omega_D \approx 8 \cdot 10^{13} \text{ Гц}$  [8], суммарная энергия оптических фононов в одном домене за время фазового перехода составит  $E_{\text{ph}} \sim 5 - 10 \text{ МэВ}$ , что достаточно для создания первого возбужденного состояния  $\text{He}^4$ . С учетом энергии доменной стенки в DKDP  $W_d \approx 40 \text{ эрг}/\text{см}^2$  и ее толщины  $h \approx 10 \text{ \AA}$ , соответствующей глубине упругого слоя [7], энергия одного домена в момент сегнетоэлектрического перехода составит  $\Delta E = 5 \cdot 10^{-8} \text{ эрг}$ . Общее число доменов  $N = 1.1 \cdot 10^{14} \text{ г}^{-1}$ , поэтому полная энергия доменной стенки единицы массы

$$\text{DKDP} - \sum_{i=1}^N \Delta E_i = 5.5 \cdot 10^6 \text{ эрг}/\text{г.}$$

Упругая часть энергии доменной стенки определяется как отношение объема упругого слоя к объему всего домена  $\beta \approx 6 \cdot 10^{-2}$ , откуда  $\Delta E_{\text{упр}} = 3.3 \cdot 10^5 \text{ эрг}/\text{г.}$  Поэтому число гигантских фононных флуктуаций ( $N_s$ ) с энергией  $W_s \approx 10 \text{ МэВ}$ , возможных за время сегнетоэлектрического перехода в первом приближении, составит  $N_s = \Delta E_{\text{упр}}/E_{\text{ph}} = 1.5 \cdot 10^{10} \text{ г}^{-1}$  при выходе  $\gamma(4.2 \text{ МэВ})$ -квантов,  $n_\gamma = 2 \cdot 10^2/\text{переход}$ . Для осуществления процесса образования составного ядра  $\text{He}^4$  необходимо сближение двух дейтеронов с целью преодоления кулоновского барьера, которое может быть обеспечено за счет ускорения дейтеронов в кристаллической решетке DKDP при ее переполяризации (переходе через  $T_C$ ) до энергии  $\sim 200 \text{ эВ}$  [9].

Что касается пика II (рис. 2, кривая 3), то его появление связано, очевидно, с возможностью образования возбужденного состояния трития  ${}^3\text{T}^*$ , обнаруженного недавно в работе [10]. Пик, соответствующий  ${}^3\text{T}^*$ , имел максимум с энергией  $7.0 \pm 0.3 \text{ МэВ}$  и ширину  $\Gamma = 0.6 \pm 0.3 \text{ МэВ}$ , что отвечает аналогичным параметрам максимума II, полученного в наших экспериментах по регистрации  $\gamma$ -квантов на сегнетоэлектрическом фазовом переходе. При этом источником энергии, необходимой для возбуждения основного состояния  ${}^3\text{T}$ , также могут являться гигантские флуктуации упругой энергии, оценка которых приведена выше. В этом случае процесс образования трития стимулируется захватом

фоновых нейтронов дейтеронами решетки с последующим взаимодействием составного ядра  $^{3}\text{T}$  с многофононным возбуждением. Снятие возбуждения влечет за собой в таком случае испускание  $\gamma$ -кванта с энергией порядка 7 МэВ.

Таким образом, в работе впервые обнаружена генерация жесткого  $\gamma$ -излучения на сегнетоэлектрическом фазовом переходе в монокристаллах DKDP и исследован его спектр. Получено подтверждение гипотезы о возможности заселения первого возбужденного состояния  $\text{He}^4$  в неравновесных дейтерированных твердых телах.

Работа выполнена при поддержке гранта Российского фонда фундаментальных исследований. Код 94-02-04895.

### Список литературы

- [1] *Schwinger J.* // Zeitschrift Feir Naturforschung. 1990. V. 45. N 5. P. 756.
- [2] *Schwinger J.* // Proc. Natl. Acad. Sci 1990. V. 87. P. 8370–8372.
- [3] *Schwinger J.* // Progr. Theor. Phys. 1991. V. 85. N 4. P. 711–712.
- [4] *Takahashi H.* // AIP Conf. Proc. N 228. "Anamalous nuclear effects in deuterium/solid systems". / Ed. by S.E. Jones et. al. N. Y., 1991. P. 884–893.
- [5] *Липсон А.Г., Саков Д.М., Калинин В.Б., Дерягин Б.В.* // Письма в ЖТФ. 1992. Т. 18. В. 16. С. 90–95.
- [6] *Липсон А.Г., Саков Д.М., Саунин Е.И. и др.* // ЖЭТФ. 1993. Т. 103. В. 6. С. 2142–2153.
- [7] *Иона Ф., Ширане Д.* Сегнетоэлектрические кристаллы. М., 1965.
- [8] *Лайнес М., Гласс А.* Сегнетоэлектрики и родственные им материалы. М., 1981.
- [9] *Дерягин Б.В., Андианкин Э.И., Липсон А.Г. и др.* // ДАН. 1994. Т. 334. В. 3. С. 291–295.
- [10] *Александров Д.В., Никольский Е.Ю., Новацкий Б.Г., Степанов Д.Н.* // Письма в ЖЭТФ. 1994. Т. 59. В. 5. С. 301–304.

Институт физической химии  
Москва

Поступило в Редакцию  
14 сентября 1994 г.